

ANEXO XI: REPORTAJE FOTOGRÁFICO



Vista de la parcela de implantación del aerogenerador VC-08. Se observa una masa forestal de pino carrasco cercana.



Visión del paisaje existente en el área de estudio.



Balsa de agua entre cultivos próxima al aerogenerador VC-08 (320 m al suroeste).



Cultivos herbáceos y leñosos en la zona de estudio.



Vista de la parcela de implantación del aerogenerador VC-06.



Zona de ubicación de la plataforma y el aerogenerador VC-07.



Vegetación halófila existente en una ladera.



Camino a ampliar entre los aerogeneradores VC-04 y VC-05.



Vista de la parcela de implantación del aerogenerador VC-05.



Balsa de Chavarri situada próxima a los aerogeneradores VC-04 y VC-05.



Vista de la parcela de implantación del aerogenerador VC-04.



Visión del paisaje en el entorno del aerogenerador VC-04.



Vista de la parcela donde se ubicará el aerogenerador VC-03.



Vista de la zona de implantación del aerogenerador VC-02 con cultivos de almendros al fondo.



Parcela de cultivos herbáceos donde se instalará el aerogenerador VC-01.



Camino de los Melonares a su paso por el parque eólico.



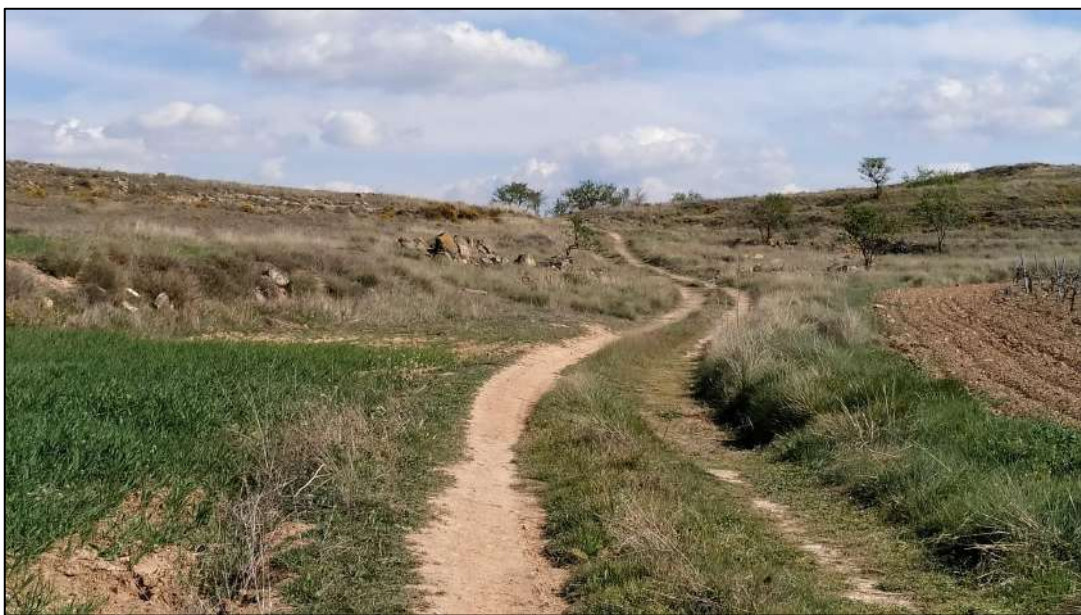
Vista de un tramo del Ramal al Pozo de Cascorro paralelo al que transcurrirá la línea subterránea de media tensión.



Paisaje agroforestal en el ámbito de estudio.



Vista de la parcela de implantación del aerogenerador VC-09.



Camino paralelo al cual transcurrirá la línea subterránea de media tensión.



Visión de la Balsa de las Estanquillas.



Vista del trazado por el que transcurrirá la línea aérea de evacuación.



Área de implantación del apoyo 4 de la línea de evacuación.



Zona de implantación del apoyo 10. Al fondo a la izquierda se observa la planta fotovoltaica de Alega Altas.



Vista de la zona de implantación del apoyo 12.



Vista del PE “Montes del Cierzo II” y de la línea de alta tensión (220 kV) paralela a la cual transcurrirá la línea de evacuación del PE “Los Chopos”.